

ETC料金所におけるリアルタイム 電波伝搬測定システムの開発

Propagation measurement system for
Electronic Toll Collection Systems (ETC)

Minseok Kim

Propagation Laboratory
Tokyo Institute of Technology

ETC(自動料金収受システム)

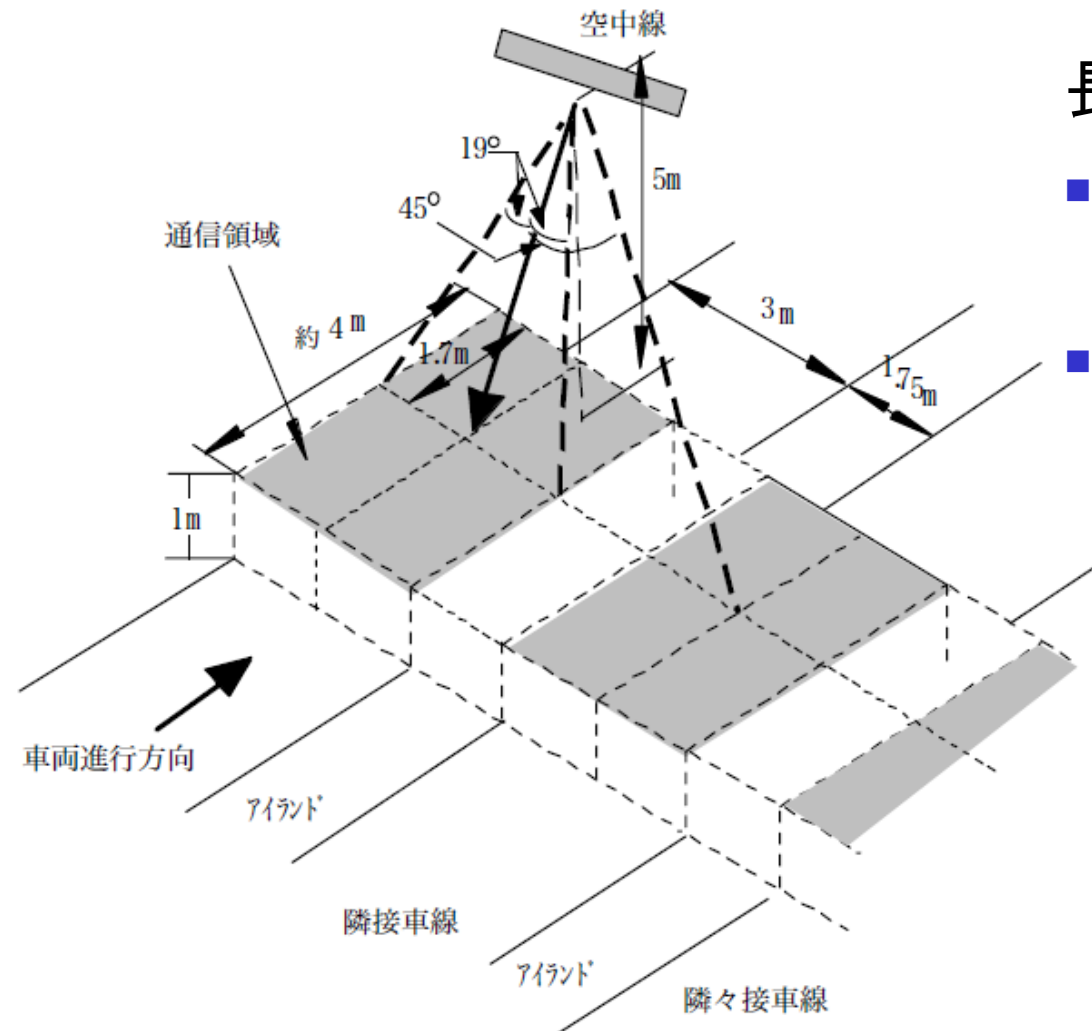


アンテナ ▶ 車載器(入口情報を送信)

車載器 ▶ アンテナ(入口情報を送信)

アンテナ ▶ 車載器 (料金情報を送信)

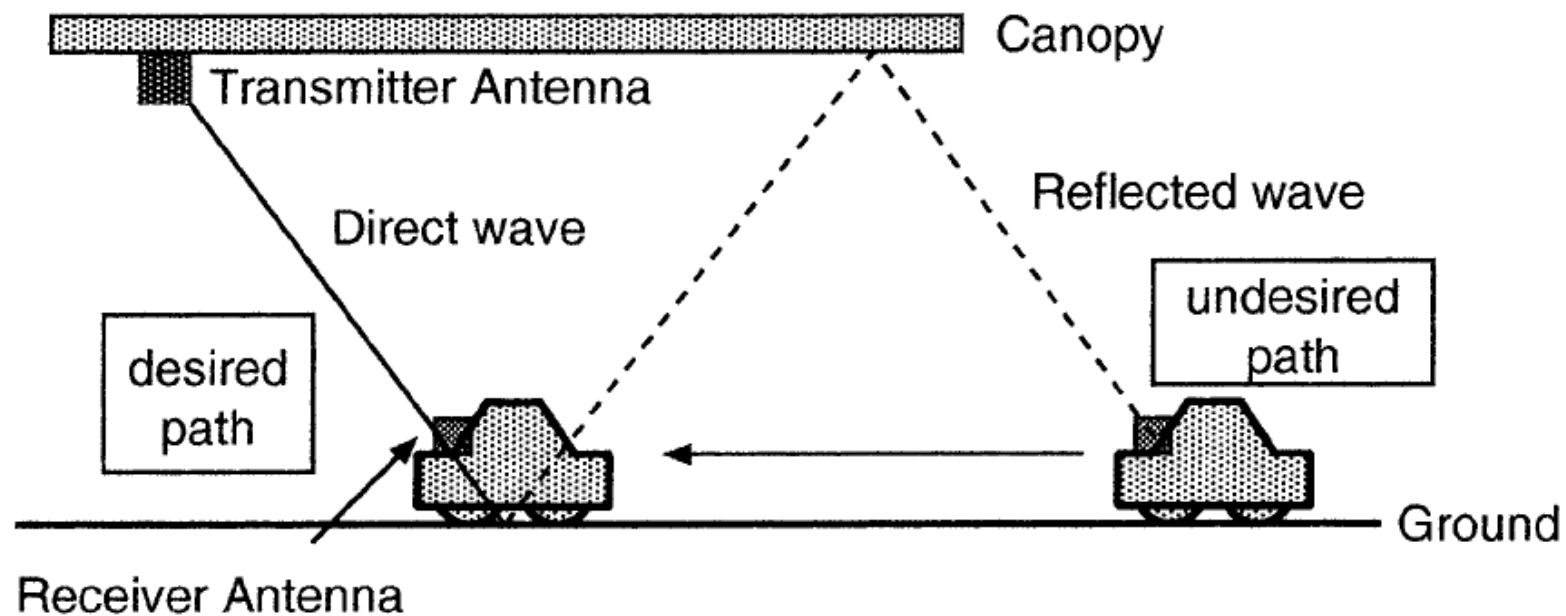
ETCゲートの通信領域



長方形の通信領域

- マルチパスは無視
⇒オーバーリーク
- 指向性のサイドローブは無視
⇒隣接レーンへの漏れ込み

マルチパスによるオーバーリーチ



大型車の散乱による隣接レーン干渉⁵

幾何光学的手法による散乱点同定



電波吸収体による対策



直張り補助マット
タイプの取付け



ETCガントリーワー
部への取付け



パイプラス構造の
屋根への取付け



音波も併せて吸収する
電波音波吸収体

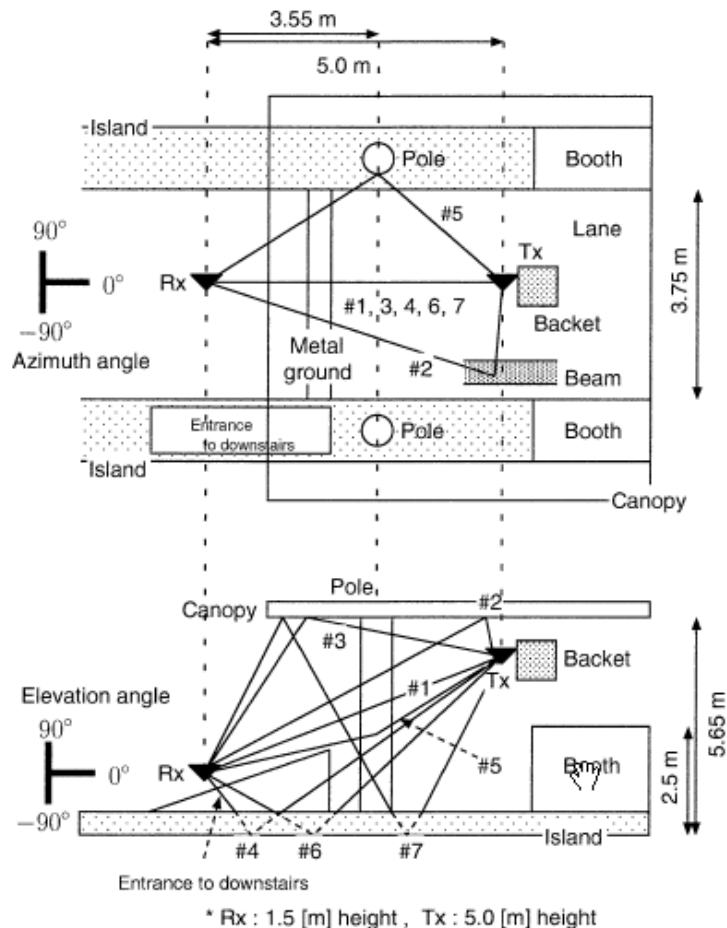


料金所横に設置された
透明電波吸収体



高入射角対応の不燃
タイプの電波吸収体

伝搬経路の同定



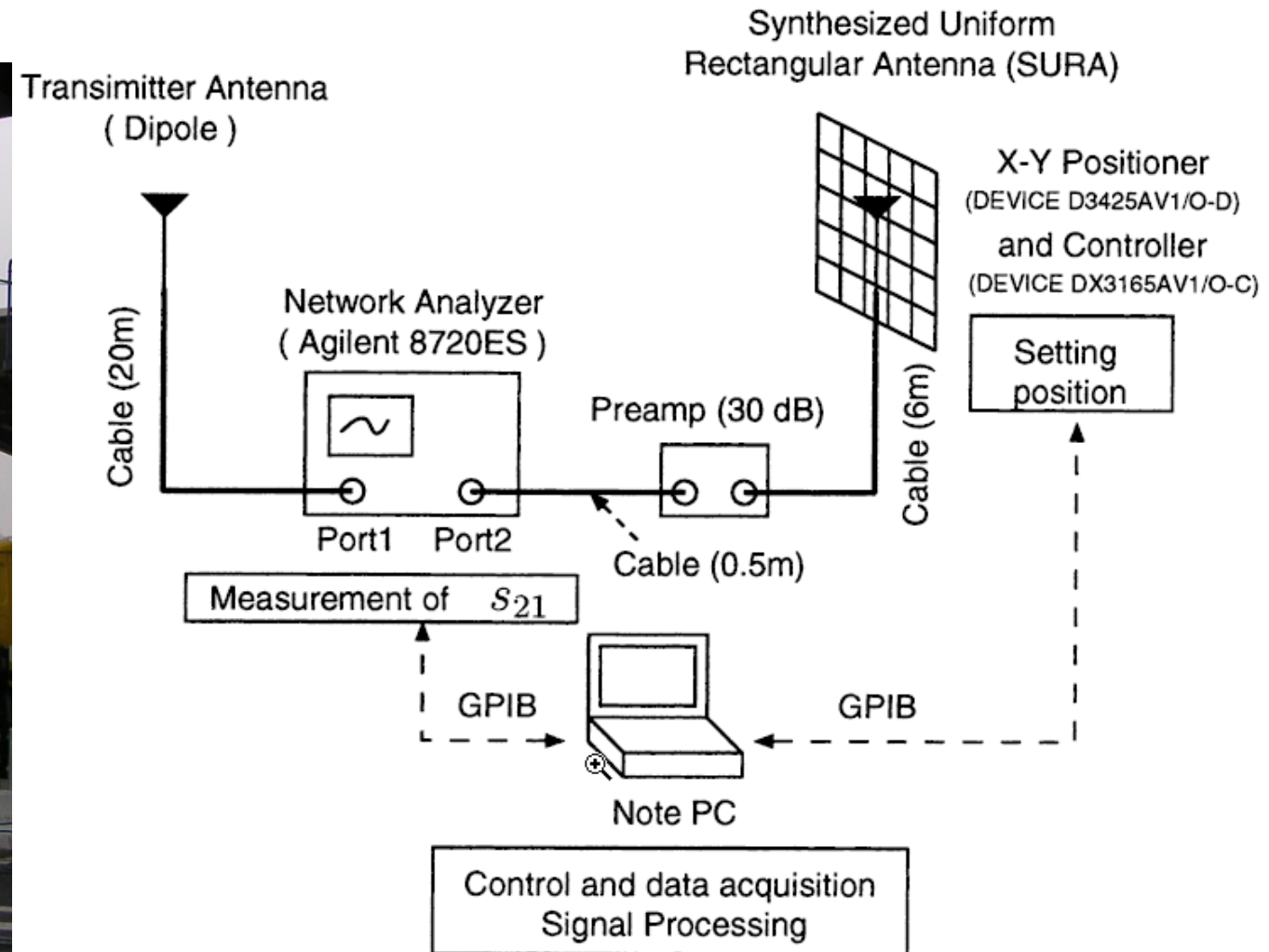
- アレーアンテナと
広帯域信号を使用
- 伝搬経路毎の減衰量
同定が可能
 - 吸収体施工の診断
 - 経年変化の診断

従来の測定法



- ベクトルネットワークアナライザとアンテナポジショナ
- ゲート閉鎖, 長時間測定／外部からの干渉波

従来の測定法



- ベクトルネットワークアナライザとアンテナポジショナ
 - ゲート閉鎖, 長時間測定／外部からの干渉波

本研究の目的

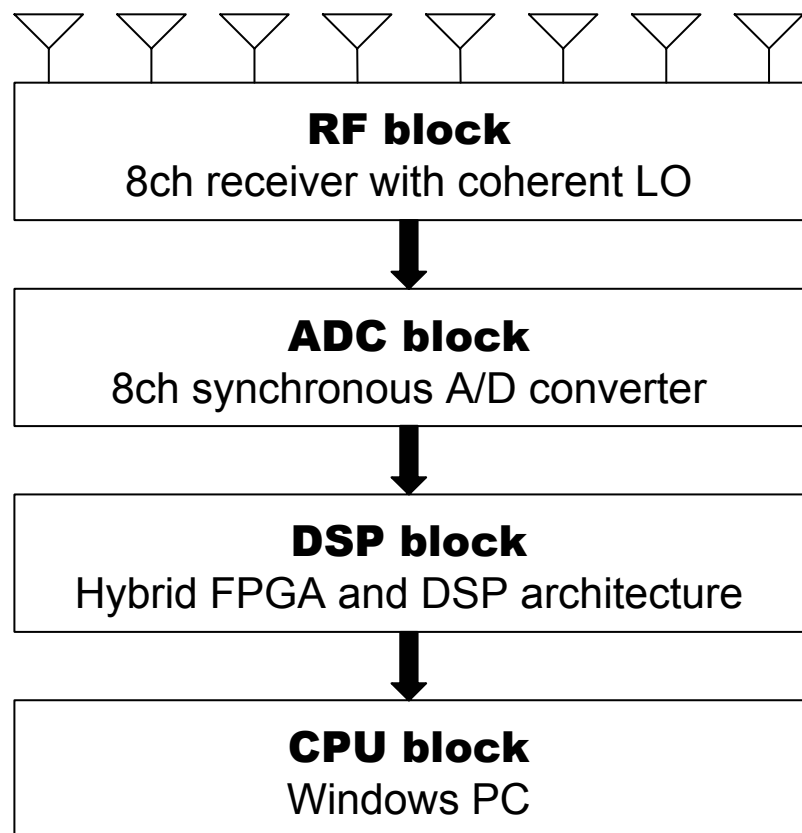
伝搬経路同定装置の実現

- 多重波分離:アレー受信機
- ETC実信号を使用:遅延は測定しない
- リアルタイム測定:ゲート閉鎖なし

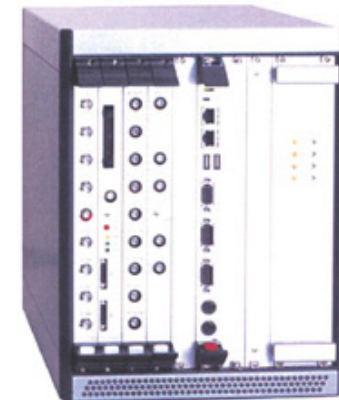
本報告の内容

- 測定装置の構成
- 測定原理
- 信号処理の概要

測定装置の構成

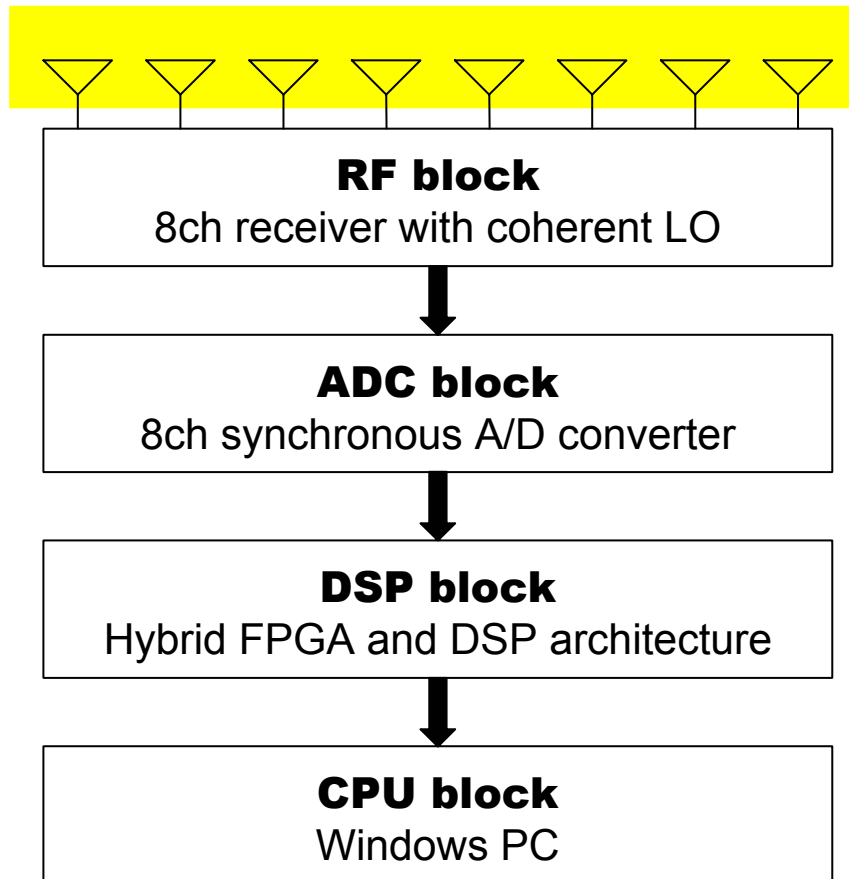


MIMOソフトウェア無線
テストベッドの受信部を利用
■ 光電製作所 E-1070



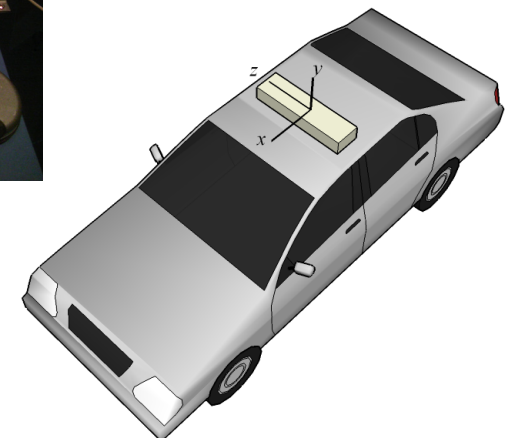
- アレーアンテナとRFは新規開発

測定装置の構成

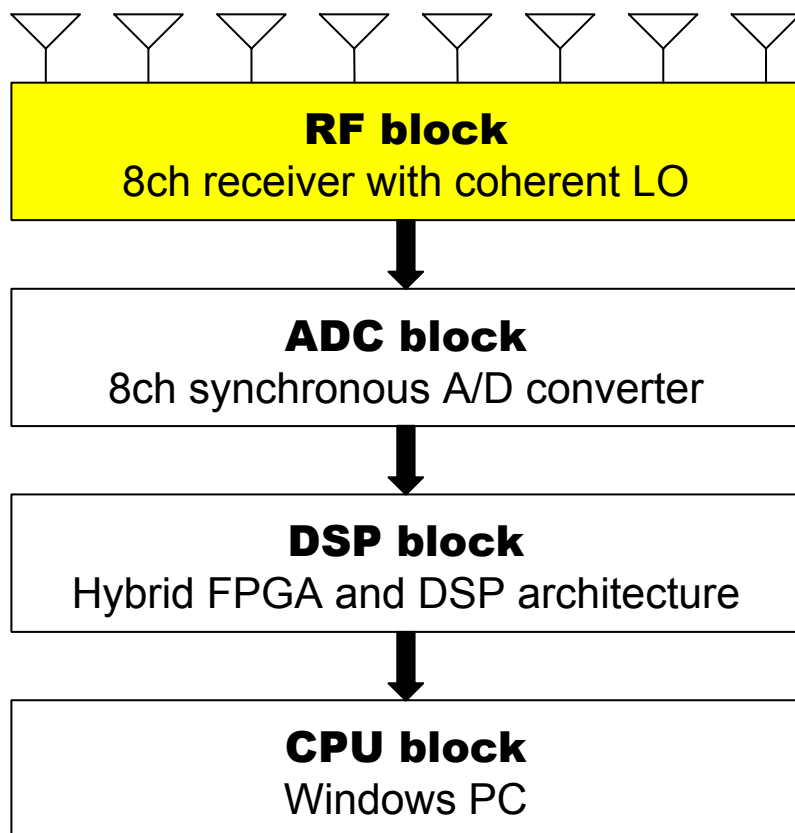


8要素アレーアンテナ

- 素子数＝チャネル数
- 円偏波
- 半波長リニアアレー
- 自動車屋根に取り付け



測定装置の構成

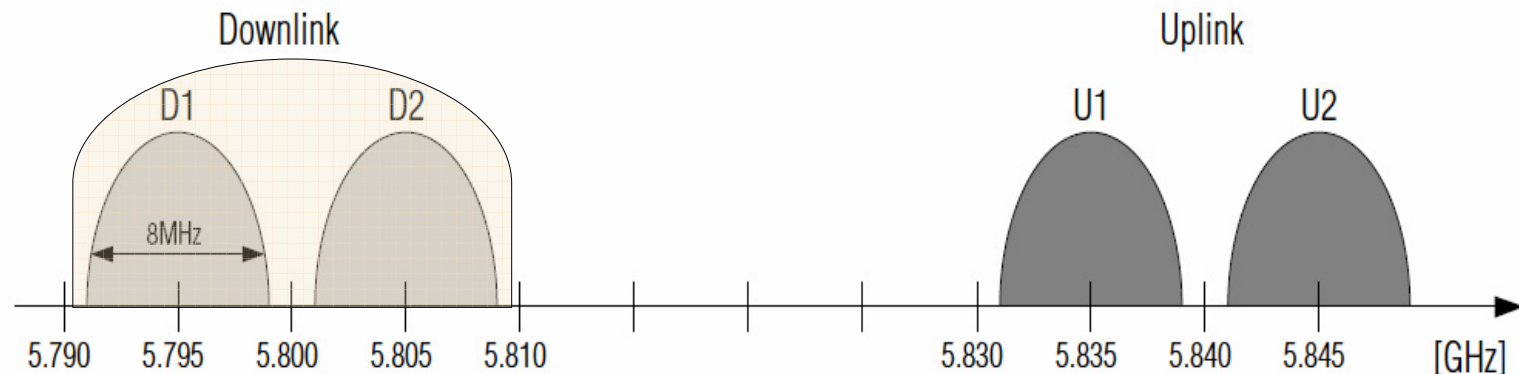


RFボード

- 共通LO
- ETC 2チャネルを受信
 - 中心周波数
5.795 / 5.805 GHz
 - 占有帯域幅
4.4 MHz
- 最大入力 -10 dBm

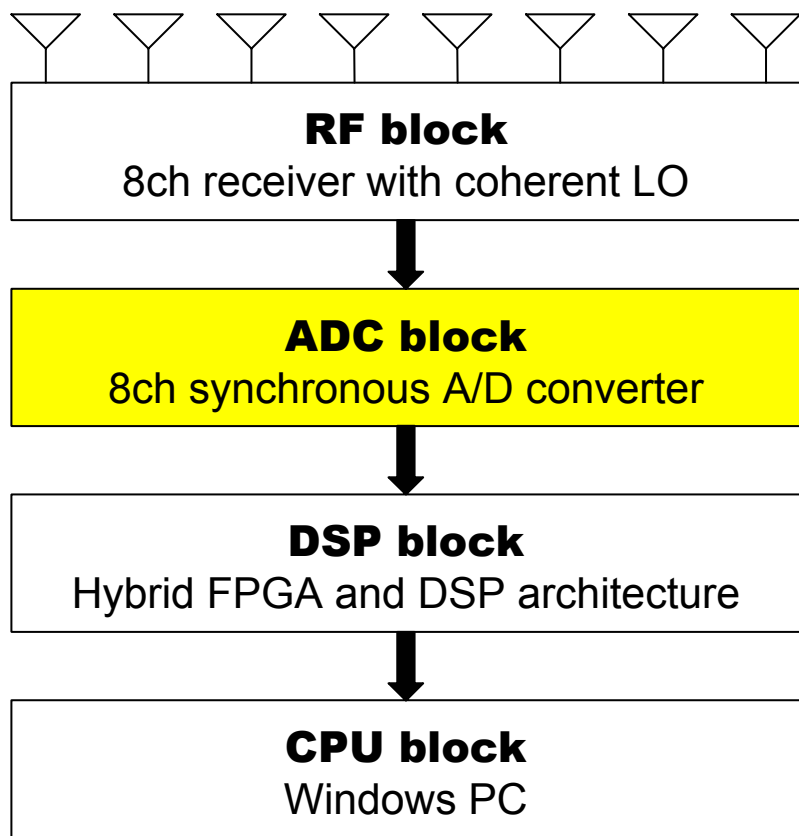
ETC信号仕様

受信機のLO=5.780GHz



Modulation	ASK split phase coding (binary, duty 1/2)
Symbol rate	1024 k symbol/s
Carrier frequency	D1: 5.795 GHz, D2: 5.805 GHz
Roll off filter	cosine roll off, $\alpha = 1$
Occupied bandwidth	4.4 MHz
Rx power range	-39.6 ~ -60.5 dBm
Rx threshold	-70.5 dBm

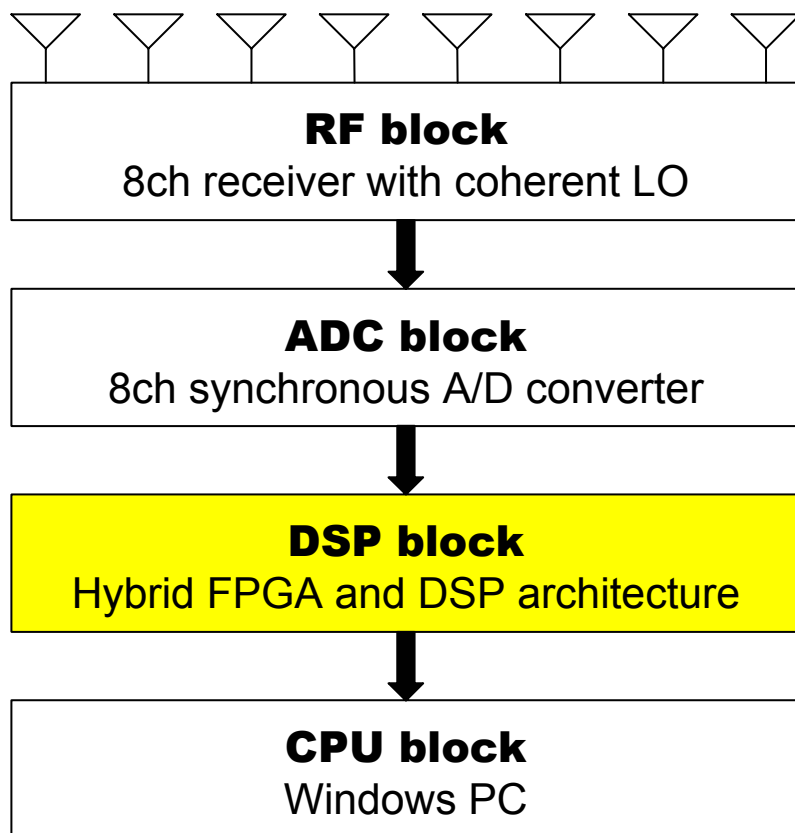
測定装置の構成



ADCボード

- 8ch 同期サンプリング
 - 20~80 MHz, 14 bit
- 低IF信号を入力
 - チャネル数節約
- FIFOメモリ
- FPGA
 - ディジタルダウンコンバージョンなどの高速な処理

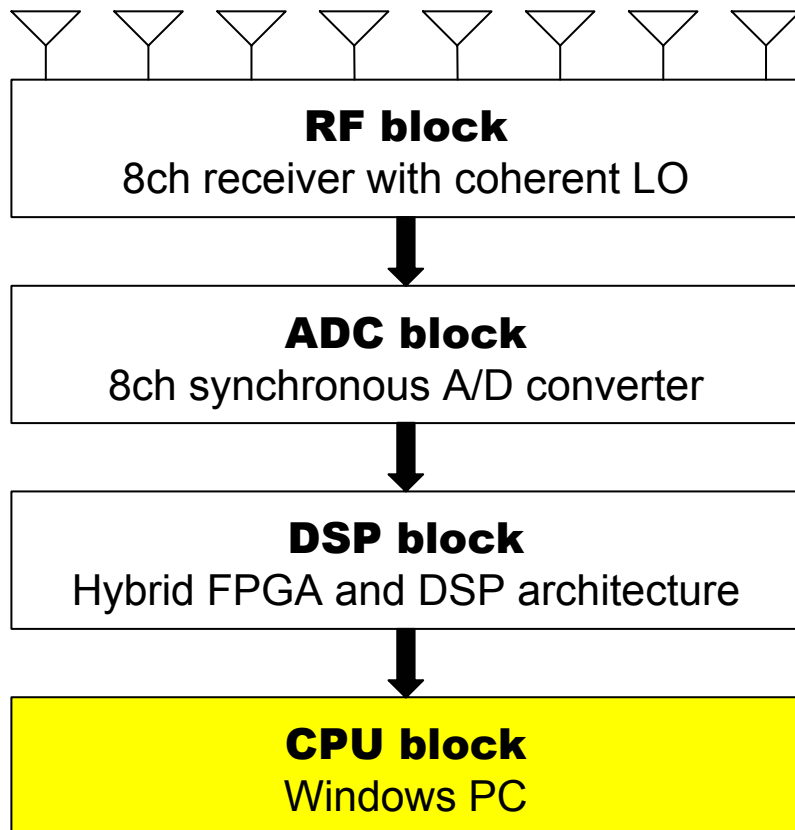
測定装置の構成



DSPボード

- ハイブリッド
アーキテクチャ
 - FPGA:
単純で高速な処理
 - DSP:
複雑な処理
- 本システムでは単に
バッファメモリとして
使用予定

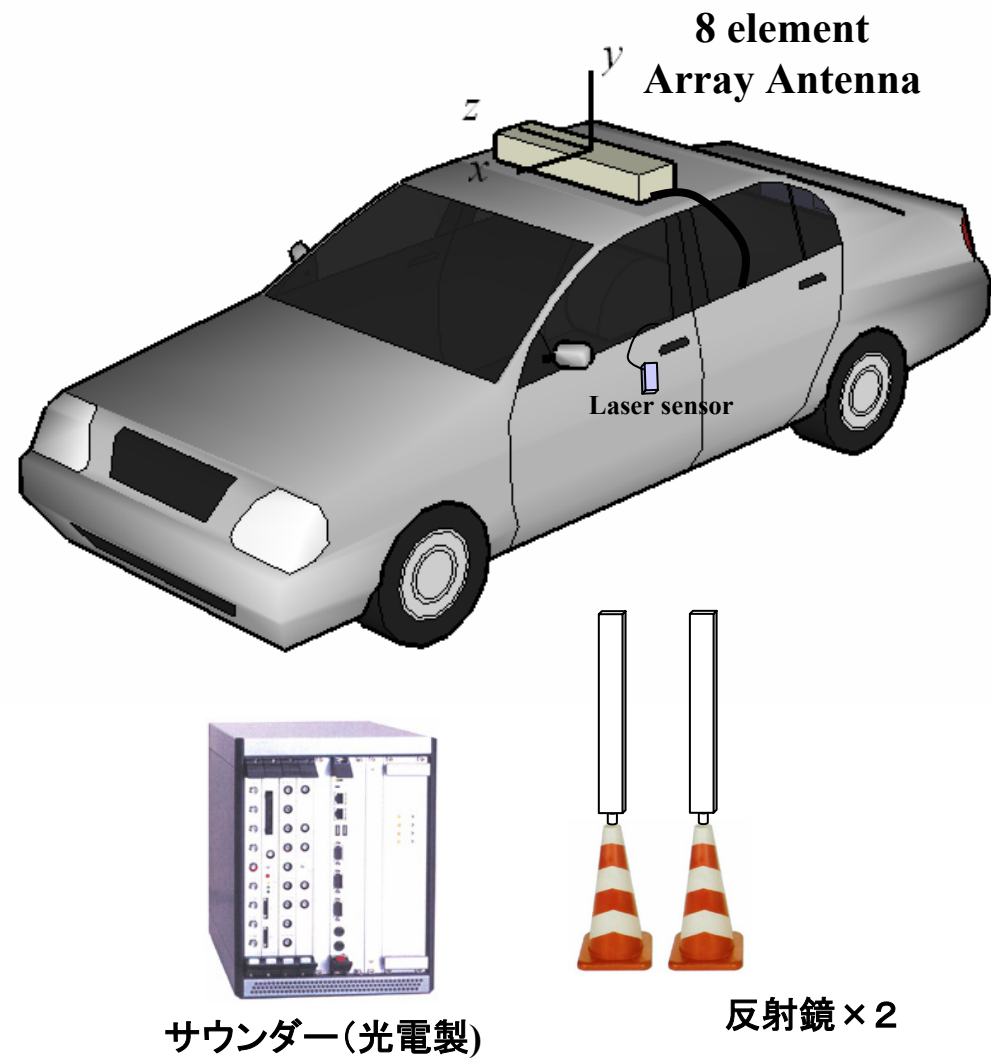
測定装置の構成



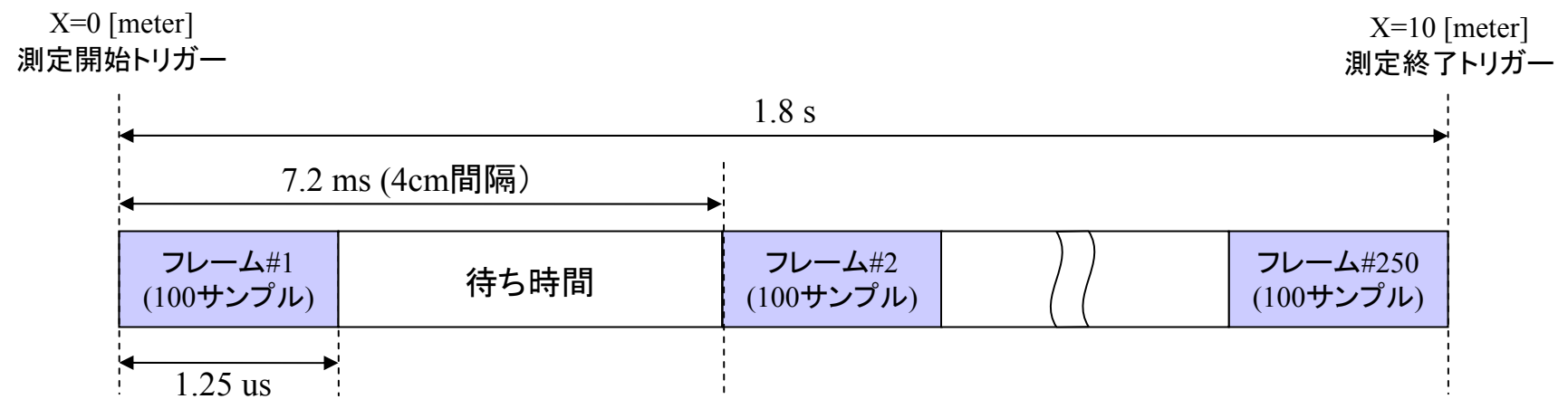
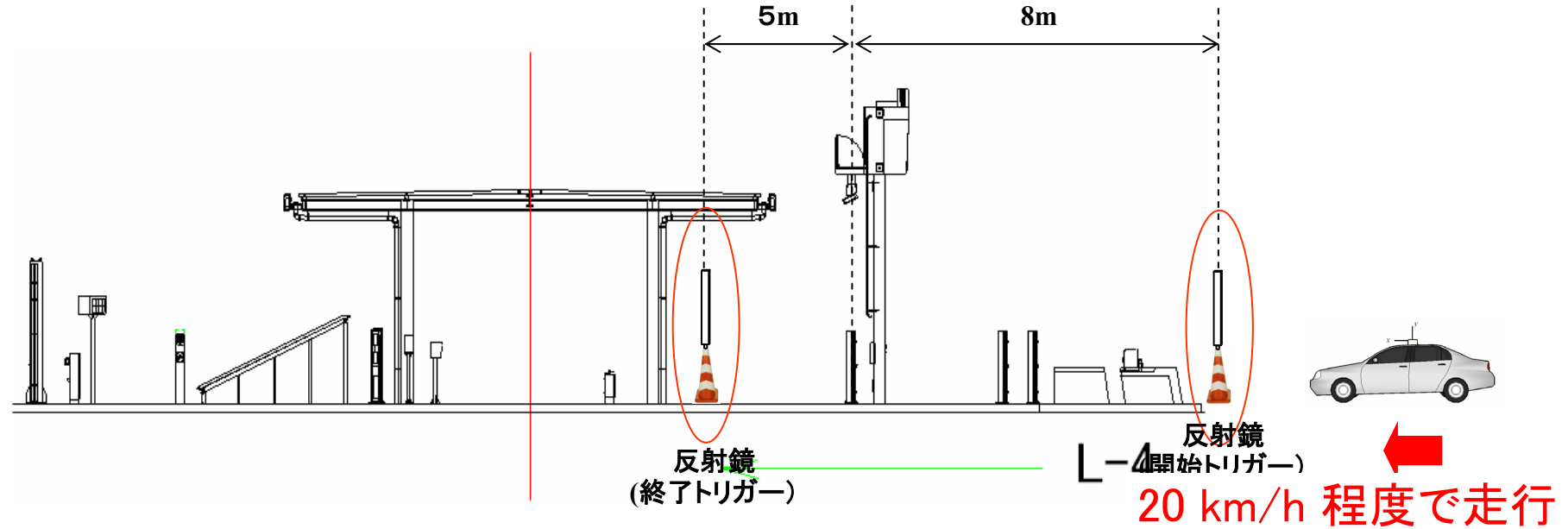
CPUボード

- Windows PC (cPCI)
 - 各ボードの設定
 - ユーザインターフェース
 - 非リアルタイムデータ処理

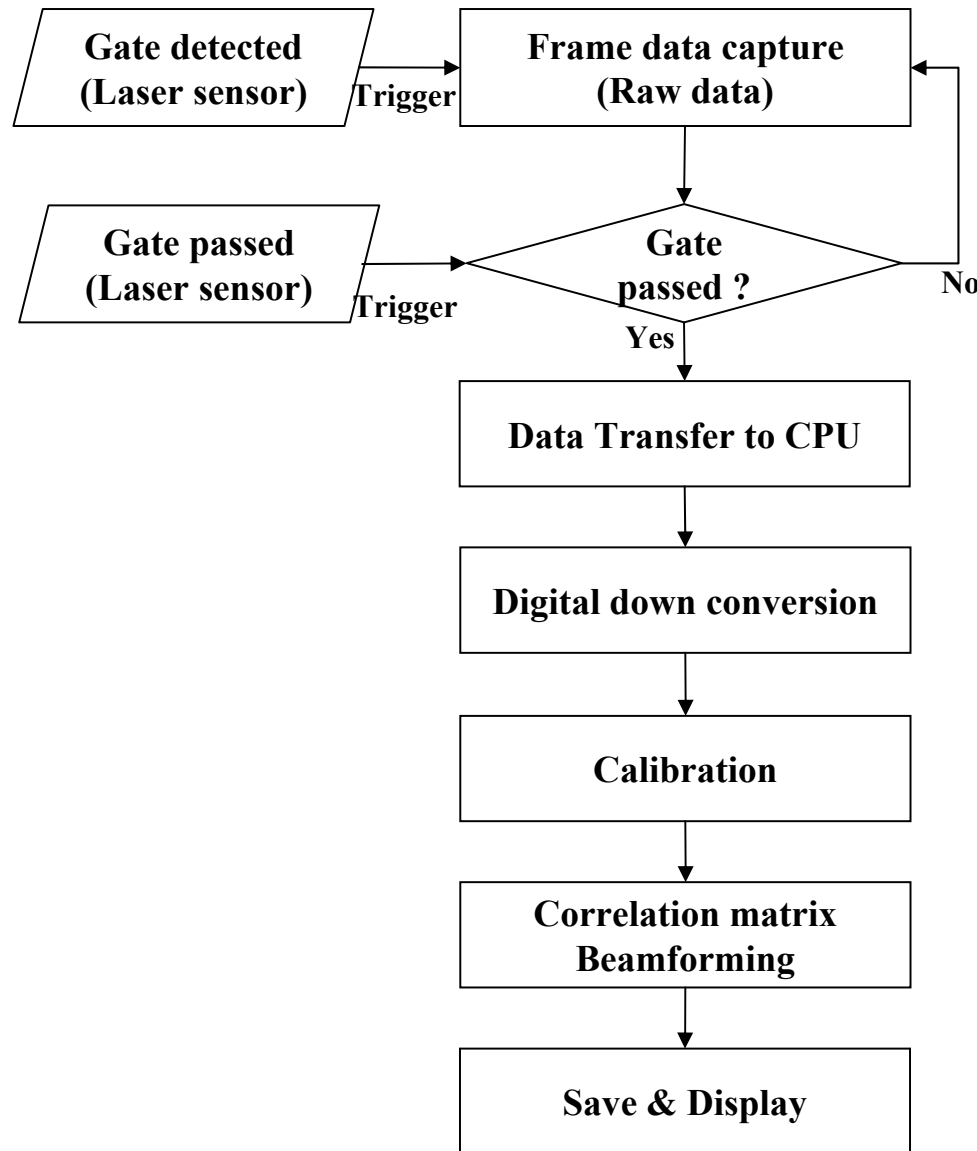
測定設備



測定方法



信号処理手順

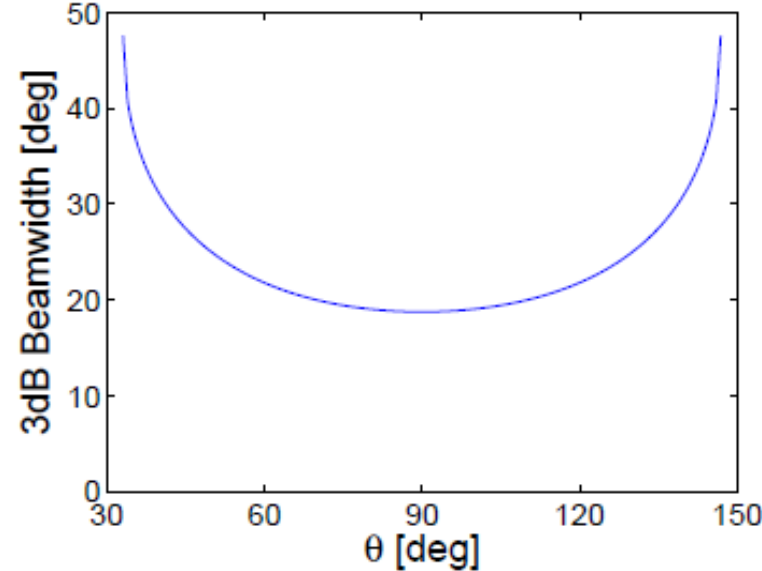
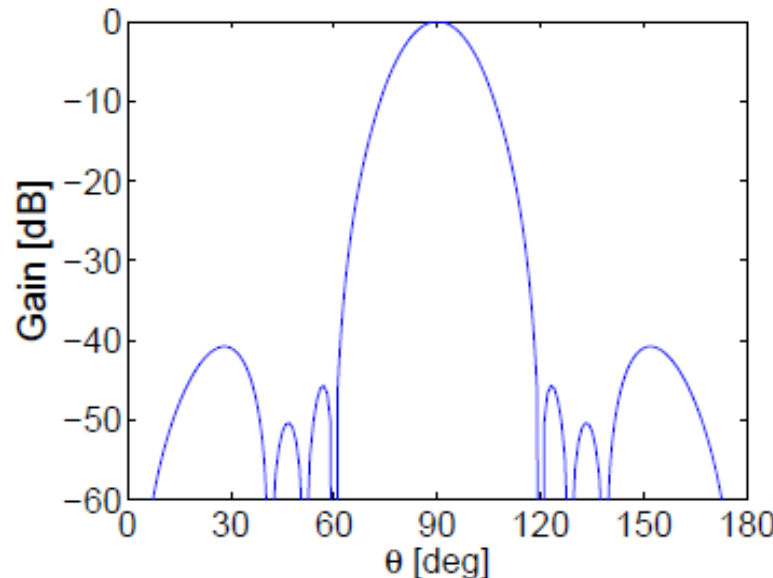


信号処理

ビームフォーミング

$$P(\theta) = \mathbf{w}^H(\theta) \cdot \hat{\mathbf{R}} \cdot \mathbf{w}(\theta)$$

- ハミング窓関数
 - 分解能を犠牲にしてサイドローブを40dB以下に下げる



信号処理

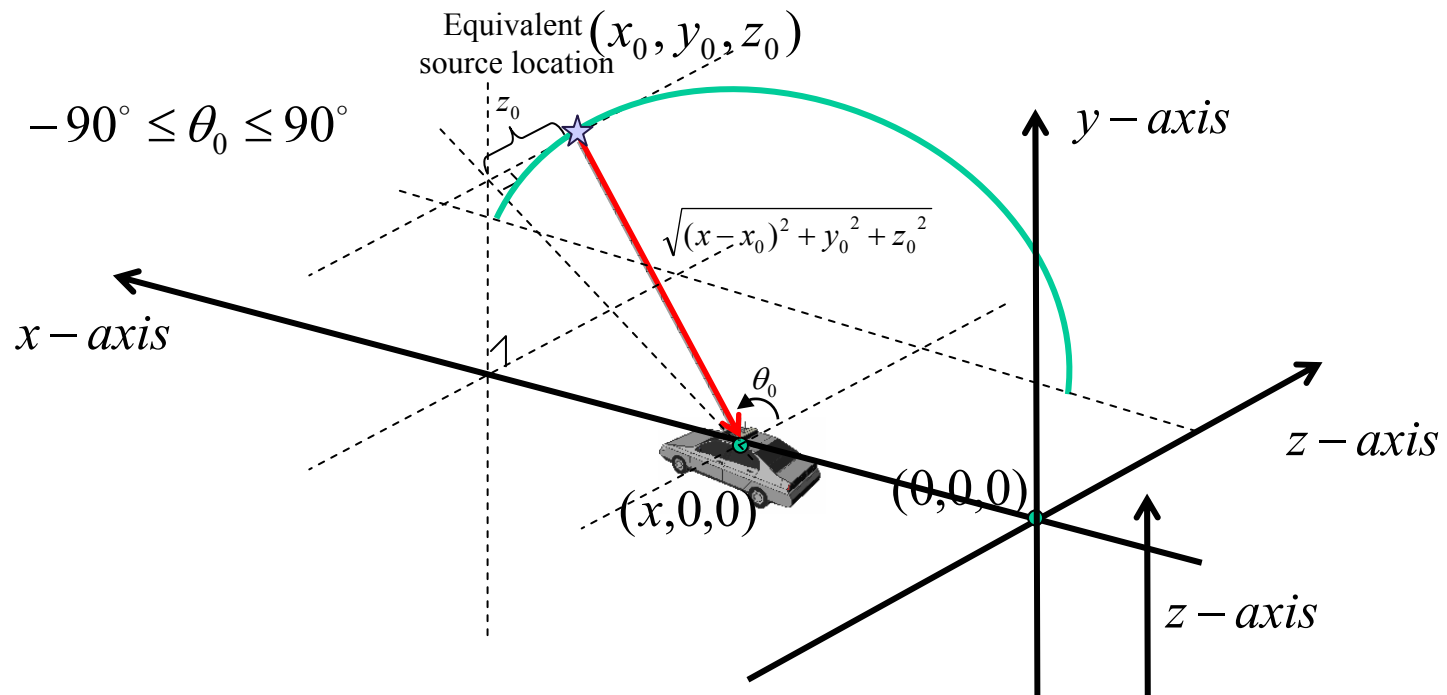
等価波源点の同定

- リニアアレー単体では1軸方向推定しかできない



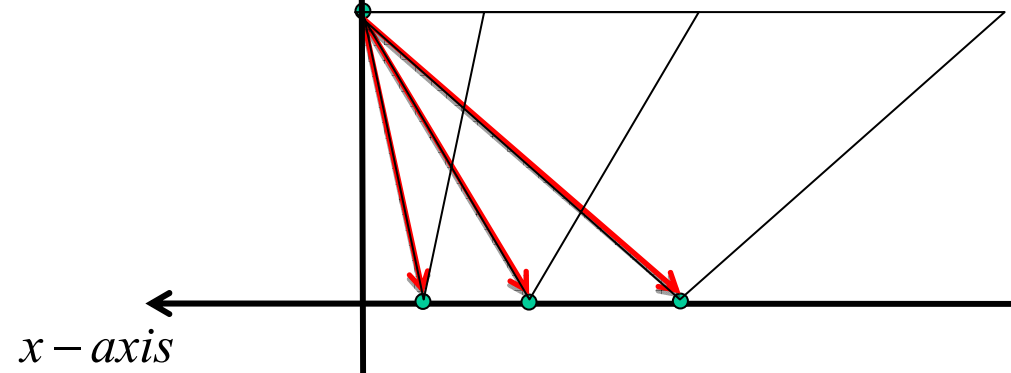
- 連続測定による等価波源点の同定
 - 異なる測定点の信号をコヒーレント合成することは困難.
 - ピークの場所変化から推定

到来方向の推定

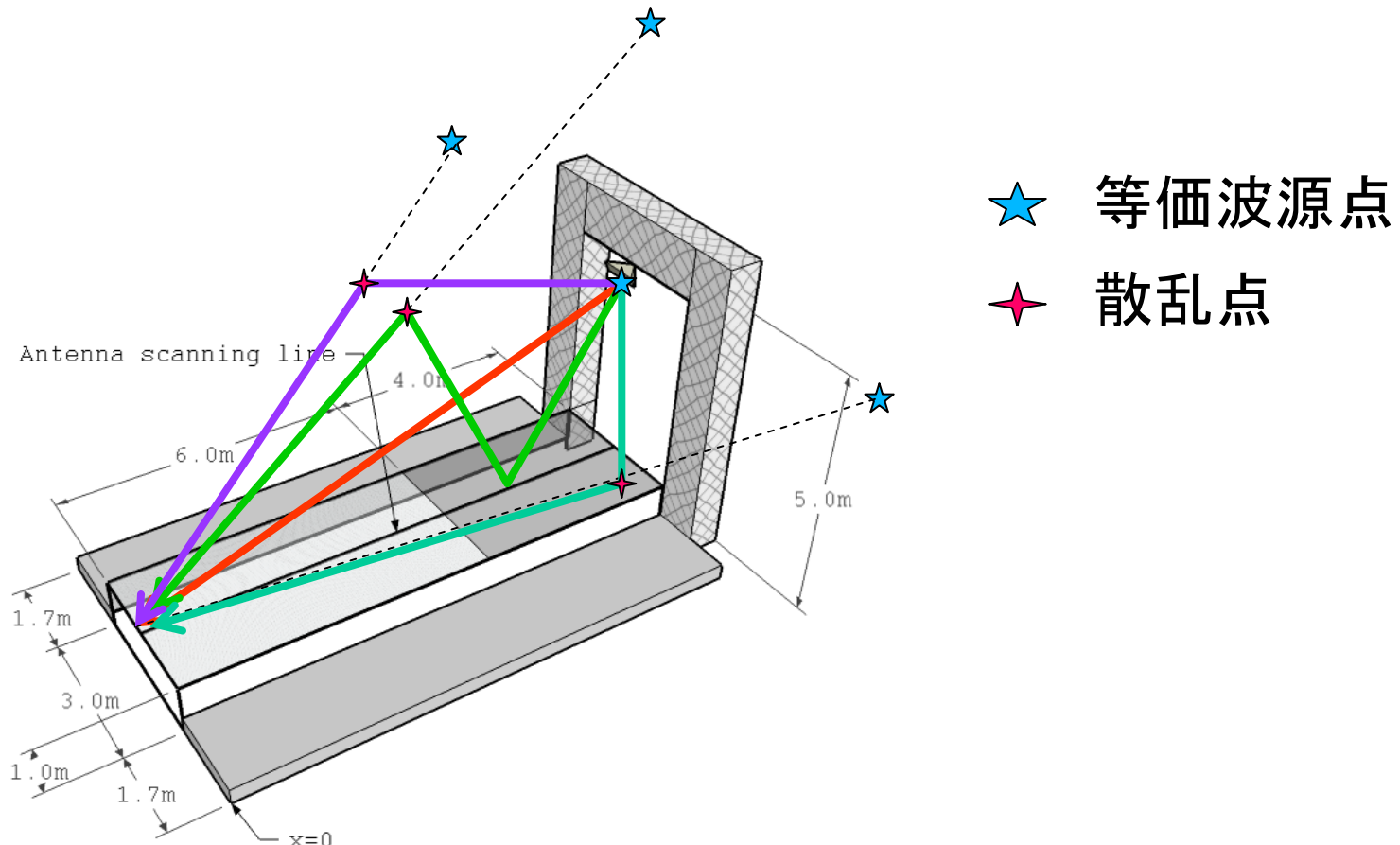


$$\theta_0 = \sin^{-1} \left\{ \frac{z_0}{\sqrt{(x-x_0)^2 + y_0^2 + z_0^2}} \right\}$$

$$(x_0 - x)^2 + y_0^2 = \frac{1 - \sin^2 \theta_0}{\sin^2 \theta_0} z_0^2$$

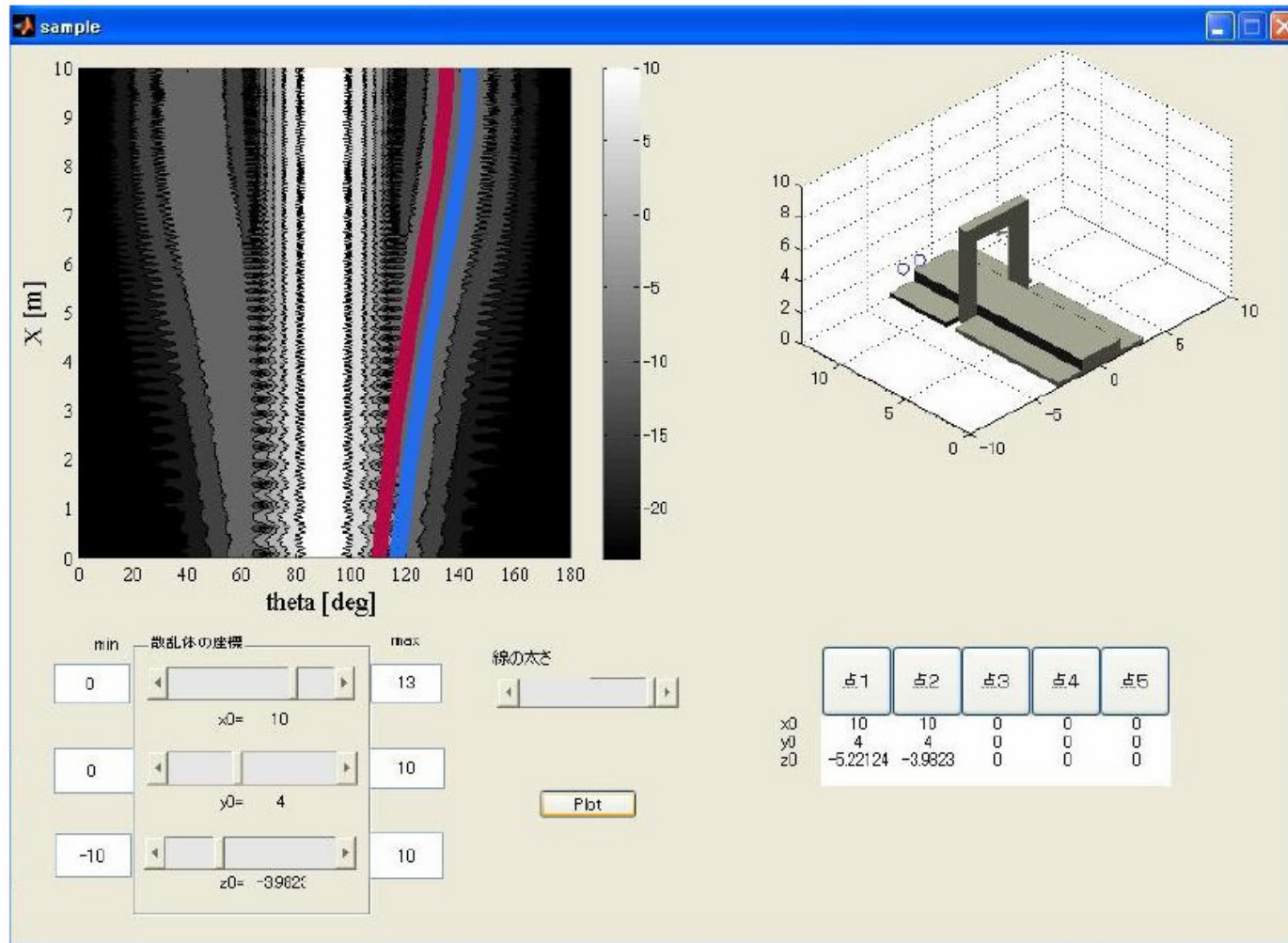


シミュレーション例



- 4波モデル
 - 直接波, 天井・路面反射波, 側壁反射波(両方)

ビームフォーミング出力



正面と左右にピーク：分離受信は可能
直接波と天井・路面反射波は分離不可

測定系のキャリブレーション

アレーアンテナとケーブル

- 固定的な特性とみなす
- マニフォルドデータを暗室で事前に測定

受信機

- 温度特性の影響: オンサイトでの校正が必要
- 標準信号発生器が必要: 全8チャネル

まとめ

ETC料金所におけるリアルタイム電波伝搬測定装置

- ソフトウェア無線テストベッドを用いたアレー受信機
- 仕様とデータ処理の流れ
- シミュレーションによる動作予測

現在のステータス

- フィールド(料金所もしくは模擬サイト)での試験
- データの解析